

## К вопросу учета динамического действия подвижной нагрузки

А. Н. Кочанов<sup>1</sup>

Петрозаводский государственный университет

Рассмотрено динамическое действие подвижной нагрузки на плиты, лежащие на грунтовом основании без связи между собой и со сварным стыковым соединением, теоретические расчеты составлены при помощи экспериментальных исследований.

**Ключевые слова:** динамика, нагрузка, плита, сварной стык, свободные колебания, вынужденные колебания, прогиб покрытия.

### СОДЕРЖАНИЕ

При динамическом расчете железобетонных колейных покрытий автомобильных лесовозных дорог дифференциальное уравнение движения в общем случае может быть представлено несколькими степенями свободы. Наиболее простой моделью для решения динамической задачи является система с одной степенью свободы, а дифференциальное уравнение движения для нее имеет вид:

$$M_n \frac{d^2 w}{dt^2} + k\phi \frac{d w}{dt} + kw = P(t), \quad (1)$$

где:  $M_n$  - приведенная масса покрытия;  
 $w$  - прогиб покрытия;  
 $k$  - коэффициент жесткости покрытия;  
 $\phi$  - модуль затухания;  
 $P(t)$  - подвижная нагрузка.

При расчете покрытий учитывают максимальные значения прогибов и усилий, которые имеют место в начале колебательного процесса. Поэтому интеграл уравнения (1) может быть представлен формулами:

при  $mt_1 < \pi$  (нагрузка движется по плите)

$$w = w_{cm}^{\max} \frac{P}{p^2 - m^2} (p \sin mt - m \sin pt), \quad (2)$$

при  $mt_1 > \pi$  (нагрузка сошла с плиты)

$$w = w_{cm}^{\max} \frac{P}{p^2 - m^2} \left\{ \begin{aligned} & [p \sin mt - m \sin pt] + \\ & [p \sin m(t - t_1)] - \\ & m \sin p(t - t_1) \end{aligned} \right\}, \quad (3)$$

где  $t$  - время;

$$P = \sqrt{\frac{k}{M_n}} - \text{частота собственных колебаний.}$$

Здесь коэффициент жесткости покрытия  $k$  отражает усилие, необходимое для создания единичного перемещения, и может быть определен по формуле

$$k = 2,4 \sqrt{CE_\delta h^3}, \quad (4)$$

где:  $C$  - коэффициент постели;  
 $E_\delta$  - модуль упругости бетона;  
 $h$  - толщина плиты.

Частоту вынужденных колебаний покрытия представим в виде:

$$m = \frac{\pi V}{l}, \quad (5)$$

где  $V$  - скорость движения автомобиля

$l$  - диаметр чаши плиты при ее деформировании.

Для плит колейных покрытий лесовозных автомобильных дорог, относящихся к категории бесконечных по длине, диаметр чаши можно принять равным

$$l = 4L, \quad (6)$$

где:  $L$  - характеристика плиты, определяемая по формуле

$$L = \sqrt{\frac{2E_\delta J_{np} 0,85(1-\mu_0^2)}{bK_{Eo} E_0 (1-\mu_\delta^2)}}, \quad (7)$$

где:  $J_{np}$  - момент инерции приведенного сечения относительно центра тяжести;

$b$  - ширина плиты;

$K_{Eo}$  - коэффициент, учитывающий более благоприятные условия работы материала подстилающего слоя под плитой [2];

$E_o$  - модуль упругости грунта подстилающего слоя;

$\mu_\delta$ ,  $\mu_o$  - коэффициент Пуассона, соответственно для бетона и грунта.

Прогиб покрытия при статической нагрузке равен:

$$W_{cm}^{\max} = \frac{P}{p^2 M_n}. \quad (8)$$

<sup>1</sup> Автор - доцент кафедры промышленного транспорта и геодезии

Коэффициенты динамичности могут быть вычислены как отношение прогибов покрытия при динамической и статической нагрузках.

Кафедрой сухопутного транспорта леса Санкт-Петербургской лесотехнической академии была разработана конструкция предварительно напряженной железобетонной плиты со сварнымистыковыми соединениями размером  $6,0 \times 1,0 \times 0,08$  м [3].

Колейное покрытие из плит ЛТА-ПТН-6 прошло производственное испытание на лесовозно-хозяйственных дорогах Тосненского и Лисинского лесхозов Ленинградской области. Грунт земляного полотна представляет пылеватую супесь, на который отсыпалась песчаная подушка из мелкозернистого песка с коэффициентом постели  $C=0,6-0,7$  МПа/см.

В качестве подвижной нагрузки применялся автопоезд МАЗ-509+ГКБ-9383-012 с нагрузкой на заднюю ось 92,5 кН и на роспуск - 165 кН (с учетом массы роспуска).

Скорость движения автомобиля изменилась от 0,5 до 8,4 м/с.

Выполненные расчеты по формулам (2 и 3) для данных условий эксплуатации показали, что отношение динамических нагрузок к статическим не превышают 1,1.

Вопросам учета динамического воздействия подвижных нагрузок на плиты посвящены работы С. В. Коновалова, Б. Н. Смирнова и др. [4, 5], которые рекомендуют при расчете концевых участков плит назначать коэффициент динамичности, равный 1,5, а при расчете срединных - 1,1.

Для уточнения этих рекомендаций при выполнении экспериментальных исследований плит ЛТА-ПТН-6 испытанию подверглись 6 плит, по 3 в каждом колесопроводе. При этом плиты, находящиеся в правом колесопроводе, имели сварноестыковое соединение, а в левом колесопроводе плиты между собой соединены не были.

Прогибы краев и середины плит, а также взаимное смещение их концов определялись как в условиях обеспечения надежной связи плит между собой, так и без связи (т. е. свободно лежащие плиты без сварныхстыков).

Тензометр для определения прогибов представлял собой чувствительную пластинку с датчиком, показания которого при изгибе плиты от движущегося автопоезда регистрировались осциллографом. Кроме того, методикой проведения дорожных испытаний лесовозного автопоезда предусматривалась регистрация с помощью электроизмерительной аппаратуры следующих величин: вертикальных нагрузок на балку заднего моста на колеса роспуска автомобиля; пройденного пути; времени и момента проезда автопоезда

по исследуемому сечению плиты; частоты колебаний хлыстов, а также величины динамического воздействия колес автомобиля и роспуска на покрытие [6].

На рис. 1 показана экспериментальная зависимость коэффициента динамичности вертикальных усилий заднего колеса автомобиля (для концов плит) от скорости движения (по состыкованным и не состыкованным плитам).

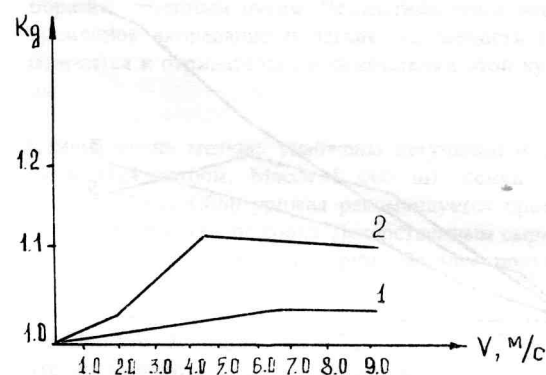


Рис.1. Зависимость коэффициента динамичности от скорости движения:

1 - состыкованные плиты; 2 - не состыкованные плиты

Коэффициент динамичности подсчитывался по формуле:

$$K_q = \frac{\varepsilon_q}{\varepsilon_{cm}} = \frac{a_{cm} + a_q}{a_{cm}} = 1 + \frac{a_q}{a_{cm}}, \quad (9)$$

где:  $a_q$  - ордината осциллограммы, соответствующая динамической нагрузке;

$a_{cm}$  - ордината осциллограммы, соответствующая статической нагрузке.

Из рис. 1 видно, что максимальная величина коэффициента динамичности для свободно лежащих плит составила  $K_q=1,18$  при скорости движения от 4 до 6 м/с, а для плит со сварнымистыками  $K_q=1,1$ .

Следует отметить, что при скорости движения 7 м/с, прослеживаются тенденции явного снижения коэффициента динамичности.

В целях выявления прочности предлагаемых плит ЛТА-ПТН-6 было выполнено исследование движения автопоезда МАЗ-509+ГКБ-9383-012 по колейному покрытию с наличием искусственно созданных неровностей порогового типа (были уложены и закреплены к плитам деревянные щиты размером в плане  $1 \times 1$  м и высотой 0,05 м).

Пройденный автопоездом путь замерялся по числу оборотов колеса, которое регистрировалось датчиком импульсно-индуктивного типа с постоянным подмагничиванием, а время пути - моторным отметчиком времени осциллографа.

Момент подъезда к неровности, т. е. фиксация наезда колес автопоезда на неровность, фиксировался с помощью тензометрического прогибомера.

Результаты исследования представлены на рисунке 2.

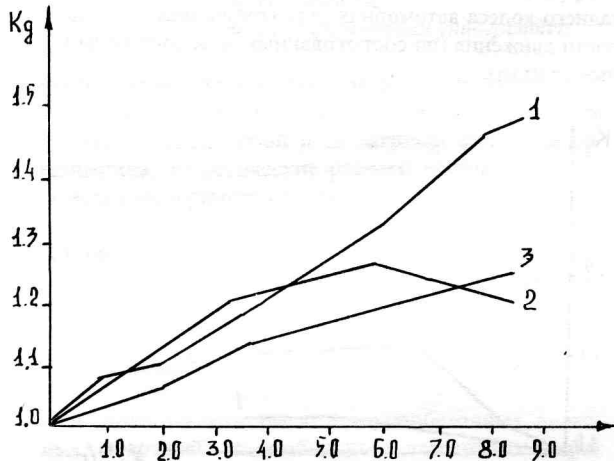


Рис. 2. Зависимость коэффициента динамичности от скорости движения автопоезда по единичной неровности порогового типа (не состыкованные плиты):  
1 - от заднего колеса автомобиля; 2 - от переднего колеса роспуска; 3 - от заднего колеса роспуска

Из рис. 2 видно, что наиболее неблагоприятной нагрузкой автопоезда является воздействие заднего колеса автомобиля. Величина коэффициента динамичности искусственно была доведена до  $K_q = 1,5$ .

После этих опытов все плиты в покрытии остались неповрежденными.

Следует отметить, что согласно правилам эксплуатации колейных покрытий лесовозных автомобильных дорог неровности высотой 0,05 м не допускаются.

## ВЫВОДЫ

- Колейные покрытия из железобетонных плит со сварными стыковыми соединениями должны иметь швы расширения. Поэтому величина динамического коэффициента при расчете плит на прочность должна приниматься: на отрицательный изгибающий момент  $K_q=1,2$  (нагрузка расположена в зоне стыкового соединения) и на положительный изгибающий момент  $K_q=1,1$  (середина плиты).
- Для уменьшения динамического воздействия подвижных нагрузок следует обеспечивать ровность покрытия и его содержание в требуемом эксплуатационном состоянии.

## ЛИТЕРАТУРА

- Глушков Г. И., Бабков В. Ф., Медников И. А. и др. Жесткие покрытия аэродромов и автомобильных дорог / Под ред. Г. И. Глушкова. М.: Транспорт, 1987. 255 с.
- Герсеванов Н. М., Мачерет Я. А. К вопросу о бесконечно длинной балке на упругой почве, нагруженной силой // Фундаментстрой. 1937. № 8.
- Ильин Б. А., Кочанов А. Н. Экономичные плиты покрытий лесовозных дорог // Лесная промышленность. 1974. № 1. С. 23 - 28.
- Коновалов С. В. Общая моторика исследований железобетонных колейных покрытий и некоторые результаты выполненных на ее основе испытаний // Тр. ЦНИИМЭ. Вып. 50. Химки, 1964. С. 41 - 118.
- Смирнов Б. Н. Взаимодействие плит сборного железобетонного покрытия автомобильных дорог с основанием под подвижной нагрузкой // Тр. ЦНИИМЭ. Вып. 72. Химки, 1966. С. 119 - 128.
- Храмцов Г. Ф., Кочанов А. Н. Методика экспериментального исследования силового взаимодействия системы "лесовозный двухзвенный автопоезд - дорога" // Вопросы механизации и автоматизации работ в лесной промышленности Северо-Запада РСФСР: Межвузовский сборник. Петрозаводск, 1997. С. 175 - 180.